

# طراحی الگوریتم تشخیص، جداسازی و جبران سازی عیب حسگرها در زیرسیستم تعیین وضعیت یک ماهواره سه محوره

سیدسعید نصرالهی<sup>۱\*</sup>، حسین بلندی<sup>۲</sup> و مصطفی عابدی<sup>۳</sup>

۱، ۲ و ۳ - دانشکده مهندسی برق، دانشگاه علم و صنعت ایران

تهران، نارمک، خ فرجام

ss\_nasrolahi@elec.iust.ac.ir

هدف از این مقاله، طراحی زیرسیستم تعیین وضعیت تحمل پذیر عیب بوده که قابلیت های تشخیص، جداسازی و اصلاح عیب در این زیرسیستم را ایجاد می کند. راهکار پیشنهاد شده بر مبنای استخراج کلیه دوران های ممکن بین دستگاه های مختصات مداری و بدنه ماهواره و مقایسه زوایای اوپلر حاصل از هر یک از این دوران هاست. بر این اساس، تغییرات زیادی در پراکندگی مجموعه زوایای اوپلر به دست آمده که به عنوان معیاری برای آشکارسازی عیب استفاده شده است. مکانیزم جداسازی و اصلاح عیب نیز بر مبنای دسته بندی ماتریس های دورانی است که زوایای اوپلر حاصل از آنها تحت تأثیر مؤلفه معموب حسگر قرار نمی گیرند. قابلیت های فوق، راهکاری کاملاً تحلیلی و محاسباتی محسوب می شود که بدون نیاز به حسگرهای افروزه و تحمل هرگونه جرم، توان مصرفی و هزینه مضاعف، دست یابی به یک زیرسیستم تعیین وضعیت تحمل پذیر عیب را مقدور می سازد. شبیه سازی های صورت گرفته عملکرد الگوریتم های طراحی شده را تأیید می کنند.

واژه های کلیدی: زیرسیستم تعیین وضعیت ماهواره، تشخیص عیب، جداسازی عیب، اصلاح عیب، ماتریس دوران، زوایای اوپلر

مطلوب و بدون عیب زیرسیستم تعیین و کنترل وضعیت وابسته است. عملکرد ماهواره در محیطی مملو از تشبع و مهمتر از آن دسترسی نداشتن به ماهواره و نبود امکان اجرای فعالیت های بازرسی و نگهداری باعث می شود، رخداد عیب در این نوع سیستم های دینامیکی گریزناپذیر شود [۱]. بررسی وقوع عیب در ماهواره های مختلف نشان می دهد که بروز عیب در حسگرهای و عملگرهای زیرسیستم تعیین و کنترل وضعیت در بسیاری از موارد، مختل شدن یا از دست رفتن مأموریتی را در پی داشته است که برای تحقق آن سال ها تلاش و هزینه صرف شده است [۲].

نظر به نتایج بررسی صورت گرفته و جایگاه ویژه زیرسیستم تعیین و کنترل وضعیت در برآورده سازی نیازمندی های مأموریت، طراحی یک مکانیزم تشخیص، جداسازی و اصلاح عیب برای این زیرسیستم، مسئولیتی بسیار حیاتی و دارای اولویت است. با توجه به اینکه یکی از بخش های مهم مستعد بروز عیب در زیرسیستم تعیین و کنترل وضعیت، حسگرهای آن است، بنابراین در این مقاله مراحل

## اختصارات

$\phi$	Roll
$\theta$	Pitch
$\psi$	Yaw
$c$	Cos
$m$	Magnetic Vector
$s$	Sin
$su$	Sun Vector
$T$	Rotation Matrix

## مقدمه

یکی از الزامات اساسی در تحقق اهداف مأموریت هر ماهواره، تنظیم دقت نشانه روی آن است که برآورده شدن این نیازمندی به عملکرد

۱. کارشناس ارشد (نویسنده مخاطب)

۲. دانشیار

۳. دانشجوی دکتری

مبتنی بر استفاده از فیلترهای کالمن خنثی محلی برای هر حسگر است، امکان تشخیص و جداسازی عیب حسگر مرتبط با آن فیلتر و اصلاح عیب را در صورت جدایش حسگر از فرایند تخمین ایجاد می‌کند. روش‌های مبتنی بر تشخیص ساختار ویژه، راهکار دیگری را برای تشخیص عیب بر اساس تولید مانده ایجاد می‌کنند. در مرجع [۱] از روش مبتنی بر تشخیص ساختار ویژه برای تشخیص عیب ژایروها در ماہواره سنجش از دور<sup>۴</sup> استفاده کرده است. تولید مانده بر اساس این روش می‌تواند به‌گونه‌ای صورت گیرد که دسته‌بندی دیگر از مکانیزم‌های تشخیص و شناسایی عیب مبتنی بر تخمین عیب توسط مشاهده‌گرهاست. در این راستا، در مراجع [۱۷] از فیلترهای پیش‌بین برای تخمین عیب در حسگرها استفاده شده است. بر این اساس، با وقوع عیب، این ترم تخمین زده شده غیرصرف شده و آشکارسازی عیب با مقایسه آن با یک حد آستانه از پیش تنظیم شده، صورت می‌گیرد. استفاده از فنون تطبیقی راهکار دیگر مورد استفاده در زیرسیستم تعیین وضعیت بوده که بر مبنای تخمین عیب عمل می‌کنند. در این راستا، در مراجع [۱۹] و [۱۸] با استفاده از شبکه‌های عصبی- تطبیقی، بزرگی عیب حادث شده توسط حسگرها تخمین زده می‌شود که نمونه‌ای از کاربرد روش‌های تطبیقی در ترکیب با روش‌های هوشمند را برای شناسایی عیب در زیرسیستم تعیین وضعیت ارائه می‌دهند. روش‌های مبتنی بر مشاهده‌گر لغزشی نیز فلسفه عملکردی مشابه با روش‌های فوق داشته که در این روش‌ها از سیگنال تزریق خروجی معادل برای بازسازی عیب (تخمین عیب) استفاده می‌شود.

تمامی مکانیزم‌های تشخیص، جداسازی و اصلاح عیب بررسی شده در فوق، روش‌های مبتنی بر مدل محسوب شده که عملکرد آنها براساس تطبیق خروجی حسگرها و عملگرها بر ارتباطات دینامیکی مورد انتظار از سیستم است. فلسفه عملکردی فوق به رغم مزایای اشاره شده، این ضعف مهم را دارد که در صورت بروز عیب همزمان در عملگرها و حسگرها قابلیت عملکرد مطلوب خود را از دست می‌دهن. به همین دلیل، در تمامی مراجع مذکور، شرط عدم بروز عیب همزمان در حسگرها و عملگرها لحاظ شده است. برای حل مشکل فوق و به عبارتی حذف شرط محدودکننده فوق، در این مقاله فلسفه عملکردی جدیدی برای مکانیزم تشخیص و جداسازی عیب حسگرها پیشنهاد می‌شود که مبتنی بر استخراج کلیه دوران‌های ممکن بین دستگاه‌های مختصات مداری و بدنه ماهواره و مقایسه زوایای اویلر حاصل از هر یک از این دوران‌هاست.

طراحی یک الگوریتم خودکار و با قابلیت اجرای روی برد، مد نظر قرار گرفته است که قابلیت‌های تشخیص، جداسازی و اصلاح عیب را برای حسگرهای تعیین وضعیت فراهم می‌سازد.

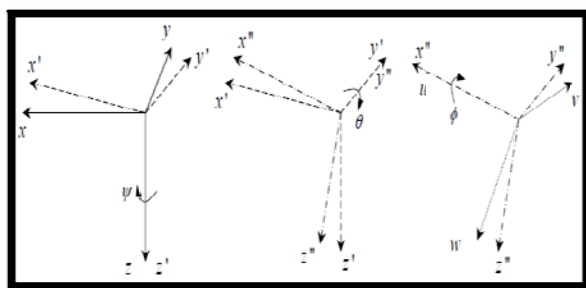
روش‌های جاری استفاده شده برای نمایش صحت عملکرد ماهواره‌ها به شدت مبتنی بر عملیات و پشتیبانی‌های موجود در ایستگاه زمینی است [۳]. در این راستا، اطلاعات تله‌متري در زمان و موقعیت مناسب به ایستگاه‌های زمینی ارسال شده و اپراتورهای مستقر در آنها پس از آنالیز و ارزیابی، حجم عظیمی از داده، وضعیت جاری و صحت عملکرد ماهواره را تعیین می‌کنند. عملیات فوق جدا از اینکه زمان بر است، مستعد بروز خطاهای مختلف ناشی از اپراتورهای انسانی و قضاوتهای نادرست آنها خواهد بود. بنابراین قابلیت خودکاری و اجرای روی برد عملیات تشخیص و اصلاح عیب که توسط الگوریتم طراحی شده ایجاد می‌شود، محدودیت‌های فوق را به همراه نخواهد داشت.

مکانیزم‌های تشخیص، جداسازی و اصلاح عیب موجود در زیرسیستم تعیین وضعیت، دو جهت‌گیری استفاده از افزونگی سختافزاری یا افزونگی تحلیلی دارند [۵ و ۴]. در این راستا، روش‌های مبتنی بر افزونگی سختافزاری که مشتمل بر استفاده از حسگرها افزونه و مقایسه خروجی‌های آنها با یکدیگرند، باعث تحمیل وزن، فضا و توان مصرفی مضاعف شده است که در مواقعي پارامترهای فوق با محدودیت روبرو هستند، این روش‌ها راه حل‌های مناسبی محسوب نمی‌شوند [۶]. در مواجه با مشکلات فوق، روش‌های مبتنی بر افزونگی تحلیلی مطرح هستند که مبتنی بر تولید مانده توسط فیلترهای کالمن، استفاده از روش تشخیص ساختار ویژه یا تخمین عیب حسگرها توسط مشاهده‌گرها هستند [۷-۱۱]. در این راستا در مرجع [۱۲] برای آشکارسازی و جداسازی عیب از ساختار مشتمل بر دو فیلتر کالمن استفاده شده که مبتنی بر خروجی‌های اندازه‌گیری شده از ژایروها، حسگر خورشید و میدان مغناطیسی هستند. همچنین برای حل مشکل کاربری روش‌های مبتنی بر فیلترهای کالمن به دینامیک‌های غیرخطی از روش‌های مبتنی بر فیلترهای کالمن توسعه یافته و UKF در مقوله آشکارسازی و جداسازی عیب استفاده شده است [۱۳ و ۱۴]. در مرجع [۱۵] یک الگوریتم فیلتر کالمن خنثی مقاوم برای آشکارسازی عیب استفاده شده است که دستیابی به یک همگرایی خطای تخمین حالت سریع‌تر را مقدور می‌سازد. در مرجع [۱۶] نیز نوع دیگری از کاربرد فیلترهای کالمن خنثی، تحت عنوان فیلترهای کالمن خنثی متعدد را در یک زیرسیستم تعیین وضعیت مشکل از دو حسگر ستاره و یک حسگر ژایرو ارائه می‌کند. این ساختار که

$\varphi$  در ماتریس تبدیل  ${}^bT_o$  است که برای انتقال از دستگاه مختصات مداری ۰ به دستگاه مختصات بدن ماهواره مورد استفاده قرار می‌گیرند. ماتریس تبدیل فوق بین دستگاه‌های مختصات مداری و بدن، با فرض انجام دوران به ترتیب  $\psi$  حول  $z$ ،  $\theta$  حول  $y$  و  $\varphi$  حول  $x$  طبق شکل (۱)، دارای ساختار زیر است:

$${}^bT_o = \begin{bmatrix} c\theta c\varphi & c\theta s\varphi & -s\theta \\ s\varphi s\theta c\psi - c\varphi s\psi & s\varphi s\theta s\psi + c\varphi c\psi & s\varphi c\theta \\ c\varphi s\theta c\psi + s\varphi s\psi & c\varphi s\theta s\psi - s\varphi c\psi & c\varphi c\theta \end{bmatrix} \quad (1)$$

که  $c$  بیانگرتابع  $\cos$  و  $s$  بیانگرتابع  $\sin$  است.



شکل ۱- زوایای اویلر در دوران YPR

ایده روش تشخیص و شناسایی عیب ارائه شده، برگرفته از مرجع [۲۳] بوده که برای این منظور لازم است معادلات مرتبط با زوایای  $\psi$  و  $\varphi$  حاصل از کلیه دوران‌های مایین دستگاه‌های مختصات مداری و بدن ماهواره استخراج شوند. با توجه به اینکه در شش مؤلفه موجود در دو بردار مرجع استفاده شده در مرجع [۲۳] سه مؤلفه، مقدار صفر دارند، کاربرد این ایده در زیرسیستم تعیین وضعیت ماهواره با محدودیت مواجه می‌شود. بهمین منظور، در این مقاله یک دستگاه مختصات واسط جدید معرفی شده که مشکل فوق را رفع می‌کند. در ادامه، جزئیات مربوط به استخراج این دستگاه واسط ارائه می‌شود. در بخش بعد نیز، چگونگی استخراج معادلات زوایای اویلر بر اساس دستگاه مختصات واسط تشریح می‌شود.

### معرفی دستگاه مختصات واسط

هدف از تعریف دستگاه مختصات واسط آن است که بردارهای خورشید  $su_v$  و میدان مغناطیسی زمین  $m_v$  در این دستگاه به صورت زیر بیان شوند:

$$su_v = [0 \quad 0 \quad 1]^T \quad (2)$$

$$m_v = [b_1 \quad b_2 \quad b_3]^T$$

شکل (۲) دستگاه مختصات واسط و بردارهای وضعیت در این دستگاه را نمایش می‌دهد.

این راهکار ایده‌ای کاملاً مستقل از دینامیک ماهواره است که بدون نیاز به دانستن وضعیت عملکردها، همواره زوایای وضعیت اصلاح یافته را در اختیار زیرسیستم کنترل وضعیت قرار می‌دهد. بر اساس روش پیشنهاد شده، تغییرات زیادی در پراکندگی مجموعه زوایای اویلر به عنوان معیار تشخیص عیب مورد استفاده قرار گرفته است. همچنین، دسته‌بندی ماتریس‌های دورانی که زوایای اویلر حاصل از آنها تحت تأثیر مؤلفه معیوب حسگر قرار نمی‌گیرند، امکان جداسازی و اصلاح عیب را فراهم می‌کنند. بنابراین، مجموعه قابلیت‌های فوق دستیابی به یک زیرسیستم تعیین وضعیت تحمل پذیر عیب را مقدور می‌سازند، که مستقل از خودکار، مدیریت عیب در این زیرسیستم را به اجرا می‌گذارند. علاوه بر مزایای اشاره شده، روش فوق، راهکاری کاملاً تحلیلی و محاسباتی محسوب می‌شود که عملکرد آن وابسته به کارکردهای حسگرهای افزونه نیست. به عبارتی دستیابی به قابلیت اطمینان بالاتر با این روش، بدون تحمیل هرگونه جرم، توان مصرفی و هزینه مضاعف، امکان پذیر خواهد بود. در ادامه مقاله، مراحل استخراج زوایای اویلر بر اساس ماتریس‌های دوران ارائه می‌شود. سپس، طراحی الگوریتم تشخیص و جداسازی عیب تشریح می‌شود. در این راستا، بعد از آن، مراحل طراحی الگوریتم اصلاح عیب مورد بررسی قرار می‌گیرد. در بخش آخر نیز نتایج شبیه‌سازی و ارزیابی الگوریتم‌های طراحی شده ارائه می‌شوند.

### استخراج زوایای اویلر از ماتریس‌های دوران

در این بخش، مراحل استخراج زوایای اویلر برای تعیین وضعیت ماهواره سه محوره مورد نظر در این مقاله تشریح می‌شود. حسگرهای وضعیت در نظر گرفته شده در این مقاله، حسگرهای خورشید و میدان مغناطیسی زمین هستند. همچنین، روابط استخراج شده در این بخش برای تعیین زوایای اویلر، مبنای افونگی محاسباتی در طراحی الگوریتم‌های تشخیص، جداسازی و جبران-سازی عیب در بخش‌های آتی مورد استفاده قرار می‌گیرد. دستگاه‌های مختصات در نظر گرفته شده در این مقاله، مشتمل بر دستگاه مختصات مداری و دستگاه مختصات بدن ماهواره است. دستگاه مختصات مداری روی مدار ماهواره در نظر گرفته شده و با تغییر موقعیت مداری ماهواره، مرکز آن جایه‌جا می‌شود. محور  $z_o$  به سمت مرکز دستگاه در راستای بردار سرعت ماهواره در مدار،  $x_o$  به سمت مرکز زمین و  $y_o$  به گونه‌ای اختیار می‌گردد که دستگاه فوق، راستگرد شود. مرکز دستگاه مختصات بدن (  $x_b, y_b, z_b$  ) منطبق بر مرکز جرم ماهواره می‌باشد و محورهای آن در راستای محورهای اصلی اینرسی ماهواره در نظر گرفته شده‌اند. زوایای اویلر همان زوایای  $\psi$ ،  $\theta$  و  $\varphi$

(۲) دوران حول محور X دستگاه دوران یافته به اندازه  $\beta$  که زاویه بین تصویر بردار خورشید در صفحه  $z_o$  با بردار خورشید است (شکل ۲). این زاویه بر اساس رابطه زیر بدست می‌آید:

$$\beta = \tan^{-1}(su_{yo} / \sqrt{su_{xo}^2 + su_{zo}^2}) \quad (5)$$

با اعمال دوران‌های فوق، بردار خورشید به شکل (۵) بدین میدان مغناطیسی به صورت  $m = [b_1 \ b_2 \ b_3]^T$  تبدیل می‌شوند. (۳) دوران حول محور Z جدید به اندازه  $\gamma$  که زاویه بین تصویر بردار میدان مغناطیسی در صفحه X-Y دستگاه جدید با محور X آن است (شکل ۲). این زاویه بر اساس رابطه زیر بدست می‌آید:

$$\gamma = \tan^{-1}(b_1 / b_3) \quad (6)$$

بدین ترتیب  ${}^v T_o^v$  بر اساس رابطه (۶) قابل استخراج است:

$${}^v T_o^v = \begin{bmatrix} 1 & 0 & 0 \\ 0 & c\beta & -s\beta \\ 0 & s\beta & c\beta \end{bmatrix} \times \begin{bmatrix} c\alpha & 0 & -s\alpha \\ 0 & 1 & 0 \\ sa & 0 & ca \end{bmatrix} \times \begin{bmatrix} c\gamma & s\gamma & 0 \\ -s\gamma & c\gamma & 0 \\ 0 & 0 & 1 \end{bmatrix} \quad (7)$$

$$= \begin{bmatrix} cac\gamma & cas\gamma & -s\alpha \\ -s\gamma c\beta - s\beta s\alpha c\gamma & c\gamma c\beta - s\beta s\alpha s\gamma & -s\beta c\alpha \\ -s\gamma s\beta + c\beta s\alpha c\gamma & c\gamma s\beta + c\beta s\alpha c\gamma & c\beta c\alpha \end{bmatrix}$$

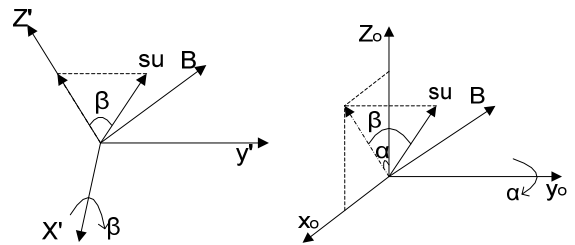
قابل توجه است که بردارهای خورشید و میدان مغناطیسی زمین در دستگاه مداری به ترتیب با استفاده از مدل سازی موقعیت نسبی ماهواره و خورشید و استفاده از مدل میدان مغناطیسی زمین استخراج می‌شوند.

برای به دست آوردن ماتریس  ${}^b T_o^b$  در ابتدا باید روابط زیر را مابین بردارهای وضعیت در دستگاه‌های مختصات واسط و بدن مدنظر قرار داشت:

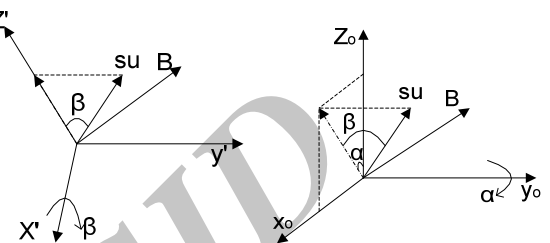
$$\begin{bmatrix} su_x \\ su_y \\ su_z \end{bmatrix} = {}^b T_o^b \begin{bmatrix} 0 \\ 0 \\ 1 \end{bmatrix}, \quad \begin{bmatrix} m_x \\ m_y \\ m_z \end{bmatrix} = {}^b T_o^b \begin{bmatrix} b_1 \\ 0 \\ b_3 \end{bmatrix} \quad (8)$$

که خروجی اندازه‌گیری شده توسط حسگر مغناطیسی در دستگاه بدن و  ${}^b T_o^b$  خروجی اندازه‌گیری شده توسط حسگر اندمازه‌گیری شده توسط حسگر خورشید در دستگاه بدن هستند.

همان‌طور که ملاحظه می‌شود، خروجی اندازه‌گیری شده حسگرها مطابق با رابطه (۸) با ماتریس  ${}^b T_o^b$  ارتباط دارند. بنابراین بروز هر گونه عیب در این حسگرها باعث تغییر مؤلفه‌های این ماتریس می‌شود. بنابراین در این مقاله استخراج ماتریس  ${}^b T_o^b$  مبنای طراحی الگوریتم‌های تشخیص و جداسازی عیب حسگرها انتخاب شده است. در این راستا باید ماتریس  ${}^b T_o^b$  بر اساس کلیه دوران‌های ممکن ما بین دستگاه مختصات واسط و بدن ماهواره استخراج شده و در هر حالت، بر اساس درایه‌های به دست آمده از ماتریس تبدیل،



الف) زوایای دوران طبق بردار خورشید (۱) پس از اولین دوران در دستگاه مداری



پ) پس از دوران بر اساس بردار خورشید



ت) دستگاه مختصات واسط

پ) پس از دوران بر اساس بردار خورشید

شکل ۲-۲- تشکیل دستگاه مختصات واسط

مطابق با شکل فوق، محور  $z_v$  این دستگاه منطبق بر بردار خورشید  $SU_o$ ، محور  $x_v$  آن به گونه‌ای است که بردار میدان مغناطیسی در صفحه  $z_v - x_v$  قرار گرفته و محور  $y_v$  آن باید به گونه‌ای باشد که دستگاه مختصات فوق راستگرد باشد. بر اساس دستگاه مختصات واسط تعریف شده، ماتریس تبدیل مابین دستگاه‌های مختصات مداری به بدن ماهواره مطابق رابطه زیر بدست خواهد آمد:

$${}^b T = {}^v T_o^v \times {}^v T \quad (3)$$

که  ${}^b T$  ماتریس تبدیل بین دستگاه‌های مختصات واسط و بدن و  ${}^v T$  ماتریس تبدیل بین دستگاه‌های مختصات مداری و واسط هستند. رابطه (۳) مبنای به کار گرفته شده برای تعیین وضعیت و استخراج زوایای اویلر در این مقاله است. بدین صورت که با استخراج ماتریس‌های  ${}^b T$  و  ${}^v T$ ، ماتریس  ${}^b T_o^b$  بر اساس رابطه (۳) به دست می‌آید که همواره از ساختار ارائه شده در (۱) تبعیت می‌کند. بنابراین بر اساس درایه‌های ارائه شده در (۱) می‌توان مقدار زوایای اویلر را به دست آورد و تعیین وضعیت ماهواره را صورت داد.

ماتریس تبدیل  ${}^v T$  را می‌توان با اعمال دوران‌های زیر بر روی دستگاه مختصات مداری و بر اساس بردارهای خورشید و میدان مغناطیسی زمین مدل شده در این دستگاه به دست آورد: (۱) دوران حول محور  $y_o$  به اندازه  $\alpha$  که زاویه بین تصویر بردار خورشید در صفحه  $z_o - x_o$  با محور  $z_o$  است (شکل ۲). این زاویه بر اساس رابطه زیر بدست می‌آید:

$$\alpha = \tan^{-1}(su_{xo} / su_{zo}) \quad (4)$$

که در این حالت از سه درایه  $su_y$ ,  $su_z$  و  $m_x$  در تعیین زوایای اویلر واسط استفاده شده است. روش فوق را  $YPR_2$  می‌نامیم. به طور مشابه، زوایای دوران را می‌توان بر اساس چهار روش دیگر و استفاده از ترکیب‌های مختلف از مؤلفه‌های خروجی حسگرها به دست آورد که در اینجا از ذکر روابط آنها چشم پوشی می‌شود.

علاوه بر دوران اصلی  $YPR$  از ۱۱ دوران دیگر نیز می‌توان استفاده کرد. این دوران‌ها با درنظر گرفتن ترتیب توالی‌های آنها،  $YRP$ ,  $RPY$ ,  $PRY$ ,  $RYP$ ,  $PYP$ ,  $PRP$ ,  $RYR$ ,  $RPR$ ,  $PY$  به صورت  $P$  بیان می‌شود که  $R$  بیانگر دوران رول،  $Y$  بیانگر دوران یاو و  $P$  بیانگر دوران پیچ هستند. هر یک از دوران‌ها، زوایای دوران متفاوت از یکدیگر دارند ولی می‌توان زوایای اویلر واسط را بر حسب زوایای دوران هر یک، محاسبه کرد.

به عنوان نمونه، در صورتی که از دوران  $RPY$  با دوران به ترتیب  $\phi_v$  حول  $x$ ,  $\theta_v$  حول  $y$  و  $\psi_v$  حول  $z$  استفاده شود، ماتریس تبدیل آن به صورت زیر خواهد بود:

(۱۲)

$${}^b_v T_{RPY} = \begin{bmatrix} c\theta_l c\psi_l & c\phi_l s\psi_l + s\phi_l s\theta_l c\psi_l & s\phi_l s\psi_l - c\phi_l s\theta_l c\psi_l \\ -c\theta_l s\psi_l & c\phi_l c\psi_l - s\phi_l s\theta_l s\psi_l & s\phi_l c\psi_l + c\phi_l s\theta_l s\psi_l \\ -s\theta_l & -s\phi_l c\theta_l & c\phi_l c\theta_l \end{bmatrix}$$

طبق روابط (۸) و (۱۲) زوایای دوران  $\phi_v$ ,  $\theta_v$  و  $\psi_v$  را می‌توان با استفاده از مؤلفه‌های  $su_z$  و  $m_z$ ,  $m_y$  و  $m_x$  به دست آورد:

$$\begin{aligned} \theta_l &= \sin^{-1}((m_z - b_3 su_z)/b_l) \\ \phi_l &= \cos^{-1}(su_z/\cos\theta_l) \\ \psi_l &= \sin^{-1}((Bm_x - Am_y)/(A^2 + B^2)) \end{aligned} \quad (13)$$

که

$$\begin{aligned} A &= b_3 \cos\theta_l - b_l \sin\theta_l \cos\phi_l \\ B &= b_3 \sin\phi_l \end{aligned} \quad (14)$$

روش فوق را  $RPY_1$  می‌نامیم. با به دست آمدن زوایای دوران  $\phi_v$ ,  $\theta_v$  و  $\psi_v$ ، زوایای اویلر واسط را می‌توان بر حسب آنها محاسبه کرد که برای این منظور از همارزی ماتریس دوران  $RPY$  و ماتریس دوران اصلی  $YPR$  مطابق رابطه زیر استفاده می‌شود:

$${}^b_v T_{RPY} = {}^b_v T_{YPR} \quad (15)$$

بر اساس رابطه فوق، زوایای اویلر واسط را می‌توان به صورت زیر محاسبه کرد:

$$\begin{aligned} \theta_v &= \sin^{-1}(\cos\phi_l \sin\theta_l \cos\psi_l - \sin\phi_l \sin\psi_l) \\ \phi_v &= \cos^{-1}(\cos\phi_l \cos\theta_l / \cos\theta_v) \\ \psi_v &= \cos^{-1}(\cos\theta_l \cos\psi_l / \cos\theta_v) \end{aligned} \quad (16)$$

زوایای دوران که «زوایای اویلر واسط ( $\phi_v, \theta_v, \psi_v$ )» نامگذاری می‌شوند، تعیین شوند. در بخش بعد شیوه تعیین ماتریس‌های دوران و زوایای اویلر واسط اشاره شده تشریح می‌شوند.

## استخراج ماتریس‌های دوران از دستگاه مختصات واسط به بدنه

همان‌طور که ذکر شد، قبل از طراحی الگوریتم‌های تشخیص و شناسایی عیب، لازم است کلیه ماتریس‌های دوران ما بین دستگاه‌های مختصات واسط و بدنه استخراج شود و زوایای اویلر واسط حاصل از آنها تعیین شوند. روال به کار گرفته شده در این بخش بدین صورت است که ابتدا ماتریس دوران یاو-پیچ-رول (YPR) که دوران معمول در کاربردهای هواپیماست، به عنوان دوران مبنا استخراج شده و کلیه روابط تعیین زوایای اویلر واسط متناظر با آن به دست آورده می‌شوند. سپس با استخراج سایر ماتریس‌های دوران و مطابقت آنها با ماتریس دوران اصلی فوق، زوایای اویلر واسط متناظر با آنها نیز محاسبه شوند.

ماتریس دوران یاو-پیچ-رول (YPR)، که با دوران به ترتیب  $\psi_v$  حول  $z$ ,  $\theta_v$  حول  $y$  و  $\phi_v$  حول  $x$  حاصل شود، دارای ساختار زیر است:

$${}^b_v T_{YPR} = \begin{bmatrix} c\theta_v c\phi_v & c\theta_v s\psi_v & -s\theta_v \\ s\phi_v s\theta_v c\psi_v - c\phi_v s\psi_v & s\phi_v s\theta_v s\psi_v + c\phi_v c\psi_v & s\phi_v c\theta_v \\ c\phi_v s\theta_v c\psi_v + s\phi_v s\psi_v & c\phi_v s\theta_v s\psi_v - s\phi_v c\psi_v & c\phi_v c\theta_v \end{bmatrix} \quad (9)$$

با توجه به روابط (۸) و (۹) زوایای اویلر واسط را می‌توان به صورت زیر محاسبه کرد:

$$\begin{aligned} \theta_v &= -\sin^{-1}(su_x) \\ \phi_v &= \sin^{-1}(su_y / \cos\theta) \\ \psi_v &= \cos^{-1}([m_x + b_l \sin\theta] / b_3 \cos\theta) \end{aligned} \quad (10)$$

همان‌طور که مشخص است، در روش فوق، برای تعیین زوایای اویلر واسط، نیازی به در اختیار داشتن تمامی مؤلفه‌های خروجی حسگرها و وضعیت نیست و تنها با مؤلفه‌های  $su_y$ ,  $su_x$ ,  $m_x$  می‌توان زوایای دوران را استخراج کرد. روش فوق را  $YPR_1$  می‌نامیم. به همین ترتیب می‌توان با استفاده از ترکیبی دیگر از درایه‌ها در همین دوران  $YPR$ , زوایای اویلر واسط را استخراج کرد:

$$\begin{aligned} \phi_v &= \tan^{-1}(su_y / su_z) \\ \theta_v &= \cos^{-1}(su_y / \sin\phi_v) \\ \psi_v &= \cos^{-1}([m_x + b_l \sin\theta_v] / b_3 \cos\theta_v) \end{aligned} \quad (11)$$

روش فوق را  $RPY_2$  می‌نامیم. در این حالت نیز می‌توان طبق رابطه (۱۵)، زوایای اویلر واسطه را محاسبه کرد. با بررسی تمامی ۱۲ دوران ممکن و استفاده از زیرمجموعه‌های متفاوت از مؤلفه‌های خروجی حسگرهای، مشابه با روال تشریح شده در فوق، می‌توان نشان داد که از ۲۵ روش مختلف، زوایای اویلر قابل استخراج هستند. در جدول ۱، ترکیب خروجی‌های حسگرهای وضعیت مورد استفاده در روش‌های فوق جمع‌بندی شده است. این جدول مبنای طراحی الگوریتم شناسایی، جداسازی و جبران‌سازی عیب در بخش بعد است.

### الگوریتم تشخیص، جداسازی و اصلاح عیب

در این بخش چگونگی استخراج الگوریتم‌های تشخیص، جداسازی و اصلاح عیب که بر مبنای روابط بخش مربوط به زوایای اویلر واسطه استخراج شده است تشریح می‌شود. روابط فوق، ۲۵ روش مستقل از هم را برای محاسبه زوایای اویلر واسطه ارائه می‌دهند که مطابق جدول (۱) در هر یک، ترکیب خاصی از مؤلفه‌های خروجی اندازه‌گیری شده توسط حسگرها استفاده شده است. نتایج فوق، این قابلیت را در اختیار ما قرار می‌دهند که بتوان با استفاده از معیار پراکندگی در مجموعه زوایای حاصل، قابلیت‌های تشخیص و جداسازی مؤلفه معیوب حسگر را ایجاد کرد. با مشخص شدن مؤلفه معیوب حسگر، الگوریتم طراحی شده این قابلیت را فراهم می‌سازد که عملیات تعیین وضعیت با استفاده از روش‌هایی ادامه یابد که مؤلفه معیوب در آنها حضور ندارد. بدین صورت قابلیت اصلاح عیب نیز ایجاد می‌شود. در ادامه شیوه عملکرد هر یک از الگوریتم‌های تشخیص، جداسازی و اصلاح عیب به تفکیک بیان می‌شوند.

### الگوریتم تشخیص عیب

عملکرد الگوریتم تشخیص عیب مبتنی بر محاسبه واریانس بین زوایای استخراج شده از تمامی ۲۵ روش بوده که مطابق روابط زیر می‌توان محاسبه کرد:

$$\sigma_{\phi_v}^2 = \frac{\sum_{i=1}^{25} (\phi_{v_i} - \bar{\phi}_v)^2}{25} \quad (19)$$

$$\sigma_{\theta_v}^2 = \frac{\sum_{i=1}^{25} (\theta_{v_i} - \bar{\theta}_v)^2}{25} \quad (20)$$

$$\sigma_{\psi_v}^2 = \frac{\sum_{i=1}^{25} (\psi_{v_i} - \bar{\psi}_v)^2}{25} \quad (21)$$

که  $\phi_v$ ،  $\theta_v$  و  $\psi_v$  به صورت زیر به دست می‌آیند:

جدول ۱ - مؤلفه‌های مؤثر در روش‌های استخراج زوایای اویلر

سدوران ها	ترکیب‌های ممکن در هر دوران	مؤلفه‌های حسگرهای وضعیت					
		مؤلفه‌های حسگر خورشید			مؤلفه‌های حسگر مغناطیسی		
		$su_x$	$su_y$	$su_z$	$m_x$	$m_y$	$m_z$
YPR	۱	✓	✓		✓		
	۲		✓	✓		✓	✓
	۳	✓		✓	✓		
	۴	✓	✓			✓	✓
	۵	✓		✓		✓	✓
	۶		✓	✓	✓		
RPY	۱			✓	✓	✓	✓
	۲	✓	✓	✓			✓
YRP	۱		✓	✓		✓	
	۲	✓		✓		✓	
	۳	✓		✓	✓		✓
	۴		✓	✓	✓		✓
RYP	۱	✓	✓	✓		✓	
	۲		✓		✓	✓	✓
PRY	۱	✓	✓	✓			✓
	۲			✓	✓	✓	✓
PYR	۱	✓			✓	✓	✓
	۲	✓	✓	✓	✓	✓	
YPY	۱	✓	✓				✓
	۲	✓	✓		✓	✓	
YRY	۱	✓	✓				✓
RPR	۱	✓			✓	✓	✓
RYR	۱	✓			✓	✓	✓
PRP	۱		✓		✓	✓	✓
PYP	۱		✓		✓	✓	✓

در این دوران همچنین می‌توان از روشهای دیگر و با استفاده از ترکیبی متفاوت از مؤلفه‌های خروجی حسگرهای وضعیت، زوایای دوران را به دست آورد که روابط آنها به صورت زیر هستند:

$$\theta_1 = \sin^{-1}((m_z - b_3 su_z) / b_1) \quad (17)$$

$$\varphi_1 = \cos^{-1}(su_z / \cos \theta_1) \quad (17)$$

$$\psi_1 = \sin^{-1}((Ds u_x - Cs y) / (C^2 + D^2)) \quad (17)$$

که

$$C = -\sin \theta_1 \cos \varphi_1 \quad (18)$$

$$D = \sin \varphi_1$$

بر این اساس، برای استفاده از ایده فوق در جداسازی عیب، لازم است روش‌هایی که هر یک از مؤلفه‌های خروجی حسگرهای وضعیت در آنها حضور ندارند، مطابق جدول (۲) طبقه‌بندی شوند.

**جدول ۲**- دسته‌بندی روش‌های محاسباتی زوایای اویلر براساس عدم حضور مؤلفه‌های خروجی در آنها

مؤلفه حسگر	روش‌هایی که مؤلفه در آنها حضور ندارد
$s_{u_x}$	YPR <sub>2</sub> , YPR <sub>6</sub> , RPY <sub>1</sub> , YRP <sub>1</sub> , YRP <sub>4</sub> , RYP <sub>2</sub> , PRY <sub>2</sub> , PRP, PYP
$s_{u_y}$	YPR <sub>3</sub> , YPR <sub>5</sub> , RPY <sub>1</sub> , YRP <sub>2</sub> , YRP <sub>3</sub> , PRY <sub>2</sub> , PYR <sub>1</sub> , RPR, RYR
$s_{u_z}$	YPR <sub>1</sub> , YPR <sub>4</sub> , RYP <sub>2</sub> , PYR <sub>1</sub> , YPY <sub>1</sub> , YPY <sub>2</sub> , YRY, RPR, RYR, PRP, PYP
$m_x$	YPR <sub>2</sub> , YPR <sub>4</sub> , YPR <sub>5</sub> , RPY <sub>2</sub> , YRP <sub>1</sub> , YRP <sub>2</sub> , RYP <sub>1</sub> , PRY <sub>1</sub> , YPY <sub>1</sub> , YRY
$m_y$	YPR <sub>1</sub> , YPR <sub>3</sub> , YPR <sub>6</sub> , RPY <sub>2</sub> , YRP <sub>3</sub> , YRP <sub>4</sub> , PRY <sub>1</sub> , PYR <sub>2</sub> , YPY <sub>1</sub> , YRY
$m_z$	YPR <sub>1</sub> , YPR <sub>3</sub> , YPR <sub>6</sub> , YRP <sub>1</sub> , YRP <sub>2</sub> , RYP <sub>1</sub> , PYR <sub>2</sub> , YPY <sub>2</sub>

بر اساس ویژگی اشاره در فوق، در صورت بروز عیب در یکی از مؤلفه‌های حسگر ارائه شده در جدول (۲)، واریانس زوایای اویلر واسط حاصل از ترکیب‌های ارائه شده متناظر با آن مؤلفه در جدول فوق بدون تغییر می‌مانند. این واریانس‌ها به عنوان نمونه برای مؤلفه  $m_z$  از حسگر مغناطیسی به صورت زیر به دست می‌آیند:

$$m_z \sigma_{\varphi_v}^2 = \left\{ \sum_{k \in \{YPR_1, YPR_3, YPR_6, YRP_1, YRP_2, RYP_1, PYR_2, YPY_2\}} (\varphi_{v_k} - m_z \bar{\varphi}_v)^2 \right\} / 8 \quad (26)$$

$$m_z \sigma_{\theta_v}^2 = \left\{ \sum_{k \in \{YPR_1, YPR_3, YPR_6, YRP_1, YRP_2, RYP_1, PYR_2, YPY_2\}} (\theta_{v_k} - m_z \bar{\theta}_v)^2 \right\} / 8 \quad (27)$$

$$m_z \sigma_{\psi_v}^2 = \left\{ \sum_{k \in \{YPR_1, YPR_3, YPR_6, YRP_1, YRP_2, RYP_1, PYR_2, YPY_2\}} (\psi_{v_k} - m_z \bar{\psi}_v)^2 \right\} / 8 \quad (28)$$

که  $m_z \bar{\psi}_v$ ،  $m_z \bar{\theta}_v$  و  $m_z \bar{\varphi}_v$  به صورت زیر به دست می‌آیند:

$$m_z \bar{\varphi}_v = \left\{ \sum_{k \in \{YPR_1, YPR_3, YPR_6, YRP_1, YRP_2, RYP_1, PYR_2, YPY_2\}} \varphi_{v_k} \right\} / 8 \quad (29)$$

$$m_z \bar{\theta}_v = \left\{ \sum_{k \in \{YPR_1, YPR_3, YPR_6, YRP_1, YRP_2, RYP_1, PYR_2, YPY_2\}} \theta_{v_k} \right\} / 8 \quad (30)$$

$$\bar{\varphi}_v = \frac{\sum_{i=1}^{25} \varphi_{v_i}}{25} \quad (22)$$

$$\bar{\theta}_v = \frac{\sum_{i=1}^{25} \theta_{v_i}}{25} \quad (23)$$

$$\bar{\psi}_v = \frac{\sum_{i=1}^{25} \psi_{v_i}}{25} \quad (24)$$

بر این اساس، در صورتی که حسگرهای خورشید و میدان مغناطیسی در وضعیت کاملاً سالم باشند، زوایای اویلر واسط محاسبه شده از تمامی ۲۵ روش محاسباتی، برابر یکدیگرند بنابراین واریانس‌های به دست آمده از روابط فوق، مقداری نزدیک به صفر خواهند داشت. در این حالت با توجه به وجود نویز در خروجی حسگرها، مقدار واریانس‌های فوق، دقیقاً صفر نیست و در یک محدوده حول صفر تغییر می‌کنند. حال در صورتی که برخی از مؤلفه‌های خروجی حسگرها، معیوب شوند، زوایای اویلر واسط محاسبه شده توسط روش‌هایی که مؤلفه معیوب در آنها حضور دارد، زوایای ناصحیح را در اختیار می‌دهند که با وجود زوایای ناصحیح در مجموعه زوایای اویلر واسط، پراکندگی‌های ارائه شده در روابط فوق، تغییرات چشمگیری خواهند داشت که این تغییرات ملاک تشخیص عیب است.

برای ممانعت از تأثیرگذاری نویز برای اعلان اشتباه عیب در حالتی که حسگرها سالم هستند، از راهکار تعیین حدود استانه  $thr_{detection}$  برای واریانس‌های به دست آمده از روابط (۱۹) و (۲۰) در تصمیم‌گیری برای تشخیص عیب، طبق رابطه ذیل استفاده می‌شود:

$$IF((\sigma_{\varphi_v}^2 > thr_{detection}) OR (\sigma_{\theta_v}^2 > thr_{detection})) OR (\sigma_{\psi_v}^2 > thr_{detection})) \Rightarrow Fault \text{ Is Detected} \quad (25)$$

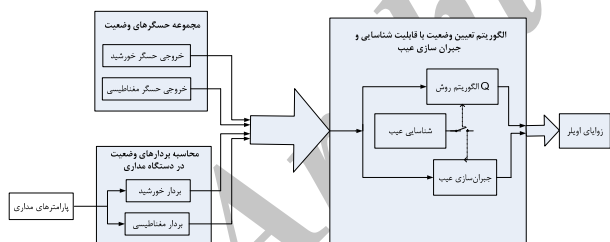
## الگوریتم جداسازی عیب

در صورت بروز عیب در یکی از مؤلفه‌های خروجی حسگرهای وضعیت، این انتظار را خواهیم داشت که زوایای اویلر واسط در روش‌هایی که مؤلفه معیوب در آنها حضور ندارد، تحت تأثیر عیب قرار نگیرند. به عنوان نمونه، در صورتی که مؤلفه  $x$  از حسگر مغناطیسی معیوب شود، زوایای اویلر واسط  $\varphi_v$ ،  $\theta_v$  و  $\psi_v$  محاسبه شده از ۱۵ روش  $YRP_3$ ,  $RPY_1$ ,  $YPR_6$ ,  $YPR_3$ ,  $YPR_1$ ,  $YPR_2$ ,  $PRY_2$ ,  $YPR_4$ ,  $RYR_1$ ,  $RPR_1$ ,  $YPY_2$ ,  $PYR_2$ ,  $PRY_2$ ,  $YRP_4$  و  $PYP_1$  تحت تأثیر مؤلفه معیوب مذکور قرار می‌گیرند. این در حالی است که ۱۰ روش باقیمانده تأثیری از عیب نخواهند گرفت.

عملکرد الگوریتم‌های تشخیص، جداسازی و جبران‌سازی عیب طراحی شده ارزیابی می‌شوند.

## شبیه‌سازی

برای شبیه‌سازی الگوریتم‌های طراحی شده در این مقاله، یک ماہواره پایدارشونده سه محوره در ارتفاع مداری ۷۰۰ کیلومتر، با زاویه شبیه مداری ۹۸ درجه و زاویه صعود از راست ۴ درجه مد نظر قرار گرفته است. در این راستا، نویز خروجی در نظر گرفته شده برای حسگر مغناطیسی به صورت یک نویز سفید با واریانس  $150 \text{ nT}$  و میانگین صفر، همچنین نویز خروجی در نظر گرفته شده برای حسگر خورشید به صورت یک نویز سفید با واریانس  $5^\circ$  درجه و میانگین صفر در نظر گرفته شده است. برای نرخ نمونه‌برداری از حسگرها ۱ ثانیه فرض شده است. برای انجام عملیات تشخیص عیب، حد آستانه  $thr_{detection}$  برابر با  $0.0401^\circ$  درجه و برای انجام عملیات جداسازی عیب، حد آستانه  $thr_{isolation}$  برابر با  $0.023^\circ$  اختیار شده‌اند. همچنین به منظور حصول اطمینان از بروز عیب، یک زمان تأخیری به عنوان فرصت برای سیستم در نظر گرفته شده است که در صورت وجود عیب در بازه‌ای بزرگ‌تر از ۸ نمونه، بروز عیب، اعلان و جبران‌سازی عیب انجام پذیرد. شکل (۳) مدل استفاده شده در این بخش برای شبیه‌سازی الگوریتم‌ها را نشان می‌دهد.



شکل ۳- بلوک دیاگرام الگوریتم عملکرد تعیین و ضعیت

مطابق مدل فوق، در شرایطی که عیب در سیستم رخ نداده است، تعیین و ضعیت بر اساس الگوریتم  $Q$  صورت گرفته که یک الگوریتم مرسوم در کاربردهای هوافضاست. پس از تشخیص عیب، سیستم بر روی الگوریتم استخراج شده در این مقاله سوئیچ شده و ادامه عملیات تعیین و ضعیت بر اساس این الگوریتم صورت می‌گیرد. همان‌طور که مشاهده می‌شود، خروجی‌های اندازه‌گیری شده توسط حسگرها و مدل‌سازی‌های صورت گرفته از برآردگرها خورشید و میدان مغناطیسی به عنوان ورودی‌های هر یک از الگوریتم‌های فوق مورد نیاز هستند که در شبیه‌سازی عملکرد این الگوریتم‌ها مورد استفاده قرار گرفته‌اند.

$$m_z \bar{\psi}_v = \left\{ \sum_{k \in \{YPR_1, YPR_3, YPR_6, YRP_1, YRP_2, YRP_1, YPY_2\}} \psi_{v_k} \right\} / 8 \quad (31)$$

برای سایر مؤلفه‌های ارائه شده در جدول (۲) نیز می‌توان روابط مشابهی را برای واریانس زوایای اویلر واسطه استخراج کرد.

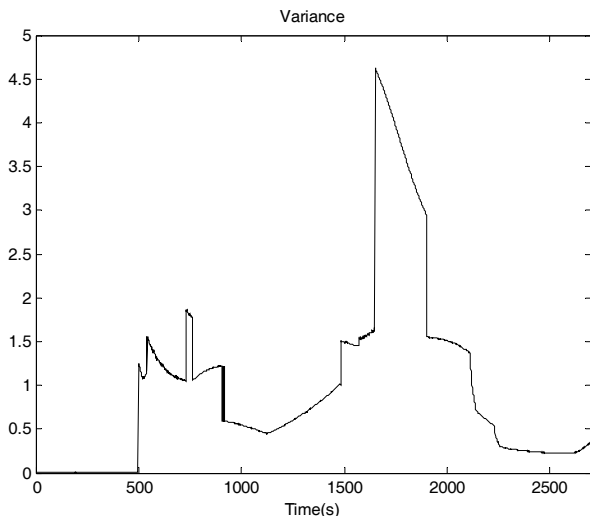
بنابراین، واریانس‌های فوق را می‌توان معیاری برای جداسازی مؤلفه معیوب در حسگر خورشید یا حسگر میدان مغناطیسی به کار گرفت. بر این اساس، در صورت بروز عیب در مؤلفه‌ای خاص، همواره تمامی واریانس‌ها بجز واریانس‌های متناظر با آن مؤلفه تغییر خواهد کرد. این مسئله جداسازی عیب مربوط به آن مؤلفه را میسر خواهد ساخت. برای نمونه در صورتی که مؤلفه  $m_z$  معیوب شود، تمامی واریانس‌ها بجز  $m_z \sigma_{\theta_v}^2$  و  $m_z \sigma_{\phi_v}^2$  تغییر خواهد کرد. در این حالت نیز برای حذف اثر نویز اندازه‌گیری حسگرها در فرایند جداسازی عیب، تغییرات واریانس‌ها نسبت به حدود آستانه از پیش تنظیم شده  $thr_{isolation}$  سنجیده می‌شود.

## الگوریتم جبران‌سازی عیب

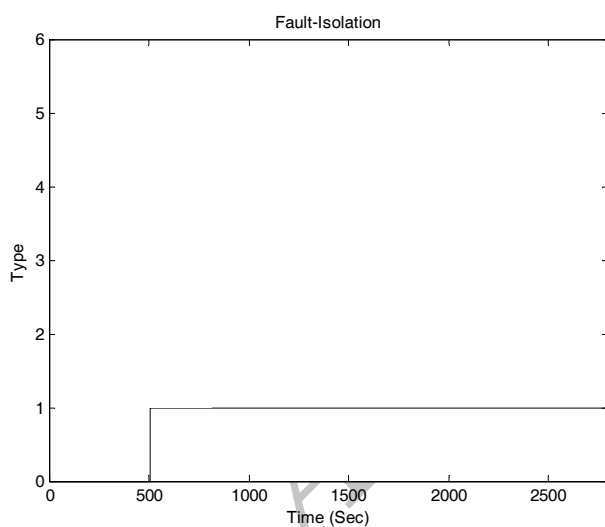
اساس الگوریتم جبران‌سازی عیب، حذف اثر مؤلفه معیوب در عملیات تعیین وضعیت است. برای این منظور، با جداسازی مؤلفه معیوب در مرحله قبل، محاسبه زوایای اویلر واسطه براساس ترکیب‌های متناظر با آن مؤلفه که در جدول (۲) اشاره شده است، ادامه می‌یابد. در این راستا، میانگین زوایای محاسبه شده بر اساس ترکیب‌های فوق را زوایای اویلر واسطه صحیح در نظر می‌گیرند که میان‌گیری فوق، اثر نویز اندازه‌گیری حسگرها را در محاسبه زوایا به حداقل می‌رساند. با تعیین زوایای اویلر واسطه  $\phi_v$ ،  $\theta_v$  و  $\psi_v$  می‌توان مطابق رابطه (۹) ماتریس  $T$  را تشکیل داد. بر این اساس، با مشخص بودن ماتریس  $T$ ، بر اساس رابطه (۳) می‌توان ماتریس تبدیل  $T^h$  را بدست آورد و بر اساس آن تعیین وضعیت کرد.

بر این اساس، مجموعه قابلیت‌های اشاره شده، این امکان را ایجاد می‌کند که در صورت بروز عیب در یکی از مؤلفه حسگرها، تشخیص عیب صورت گرفته و مؤلفه مذکور از آن حسگر جداسازی شود. همچنین قابلیت جبران‌سازی عیب، ادامه انجام عملیات تعیین وضعیت را به رغم رخداد عیب فوق مقدور می‌سازد. نتیجه عملیات فوق دستیابی به یک زیرسیستم تعیین وضعیت تحمل‌پذیر خطاست که افزایش قابلیت اطمینان کلی سیستم را به همراه خواهد داشت. در ادامه با انجام شبیه‌سازی،

جدول (۳) است. بنابراین الگوریتم جداسازی عیب به درستی عمل کرده است.



شکل ۵- واریانس مجموعه زوایای اویلر با عیب درایه  $x$  حسگر خورشید



شکل ۶- جداسازی عیب در درایه  $x$  حسگر خورشید

شکل (۷) شبیه‌سازی صورت گرفته زوایای وضعیت تعیین شده با الگوریتم‌های ارائه شده در این مقاله و الگوریتم  $Q$  را نشان می‌دهد. مطابق شکل ملاحظه می‌شود که با رخداد عیب در ثانیه ۵۰۰، زوایای به دست آمده توسط الگوریتم  $Q$  نسبت به مقادیر واقعی آن منحرف شده، بنابراین این الگوریتم قابلیت جبران‌سازی عیب را ندارد، در حالی که الگوریتم ارائه شده، زوایای اویلر را به سمت مقادیر واقعی خود همگرا کرده است. بنابراین این الگوریتم، برخلاف الگوریتم  $Q$  قابلیت جبران‌سازی عیب را در سیستم ایجاد کرده است.

قابل ذکر است که مقادیر زوایای وضعیت واقعی در شبیه‌سازی فوق، از معادلات دینامیکی ماهواره به دست آورده شده‌اند که بیانگر مانور ماهواره برای انطباق دستگاه مختصات بدنه ماهواره بر دستگاه مختصات مداری است.

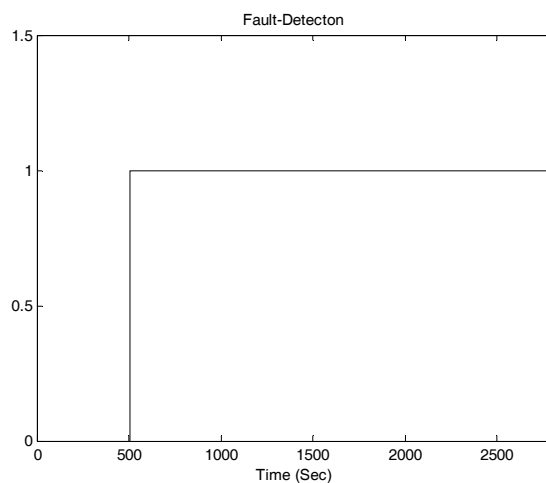
برای شبیه‌سازی الگوریتم‌های طراحی شده در این مقاله، متغیر Fault\_type برای نشان‌دادن مؤلفه‌های معموب حسگرها تعریف شده و بر اساس جدول (۳) مقداردهی می‌شود. در ادامه برای ارزیابی عملکرد الگوریتم‌ها سه سناریو در نظر گرفته شده است.

جدول ۳- تناظر جداسازی عیب با مؤلفه‌های خروجی حسگرها

Fault_type	شماره متناظر در متغیر	مؤلفه معموب
۱		$SU_x$
۲		$SU_y$
۳		$SU_z$
۴		$m_x$
۵		$m_y$
۶		$m_z$

#### سناریوی I: بروز عیب در مؤلفه $x$ از حسگر خورشید

در این سناریو، عیب در مؤلفه  $x$  از حسگر خورشید در ثانیه ۵۰۰ به صورت یک مقدار بایاس با بزرگی ۰/۲۵ اعمال می‌شود. مطابق با شکل (۴) ملاحظه می‌شود که تشخیص عیب در ثانیه ۵۰۰ صورت پذیرفته است و بنابراین تأخیر زمانی تشخیص عیب توسط این الگوریتم ۹ ثانیه است.

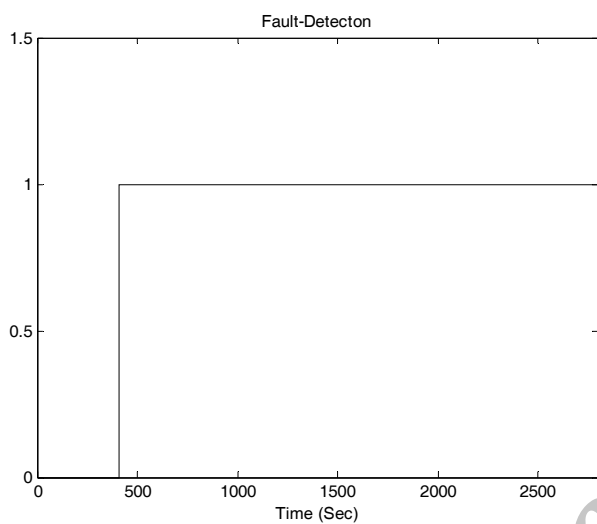


شکل ۴- شناسایی عیب در درایه  $x$  حسگر خورشید

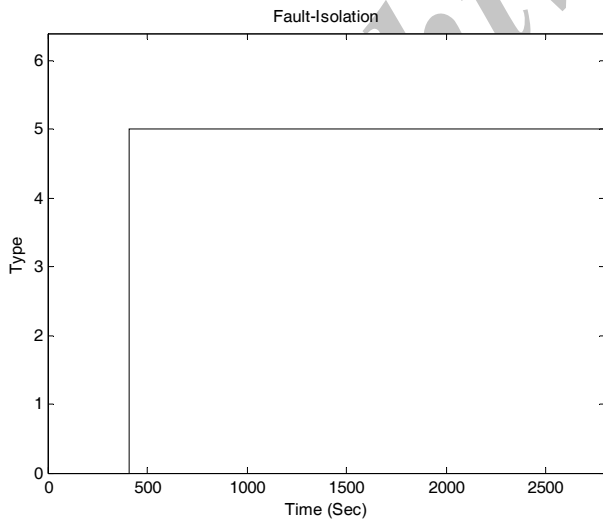
در شکل (۵) مشاهده می‌شود که در لحظه بروز عیب مقدار واریانس زوایای اویلر واسطه از حد آستانه در نظر گرفته شده تجاوز کرده است. شکل (۶) نیز نشان می‌دهد که متغیر Fault\_type ۱ را پذیرفته است که متناظر با مؤلفه  $x$  از حسگر خورشید در

### سناریوی II: بروز عیب در مؤلفه y از حسگر مغناطیسی

در این سناریو، عیب در مؤلفه y از حسگر مغناطیسی در ثانیه ۴۰۰ و به صورت یک مقدار بایاس با بزرگی  $5000 \text{ nT}$  اعمال شده است. مطابق با شکل های (۸) و (۹) ملاحظه می شود که تشخیص عیب در ثانیه ۴۰۹ صورت پذیرفته و متغیر Fault\_type مقدار ۵ را پذیرفته است که متناظر با مؤلفه y از حسگر مغناطیسی در جدول (۳) است.

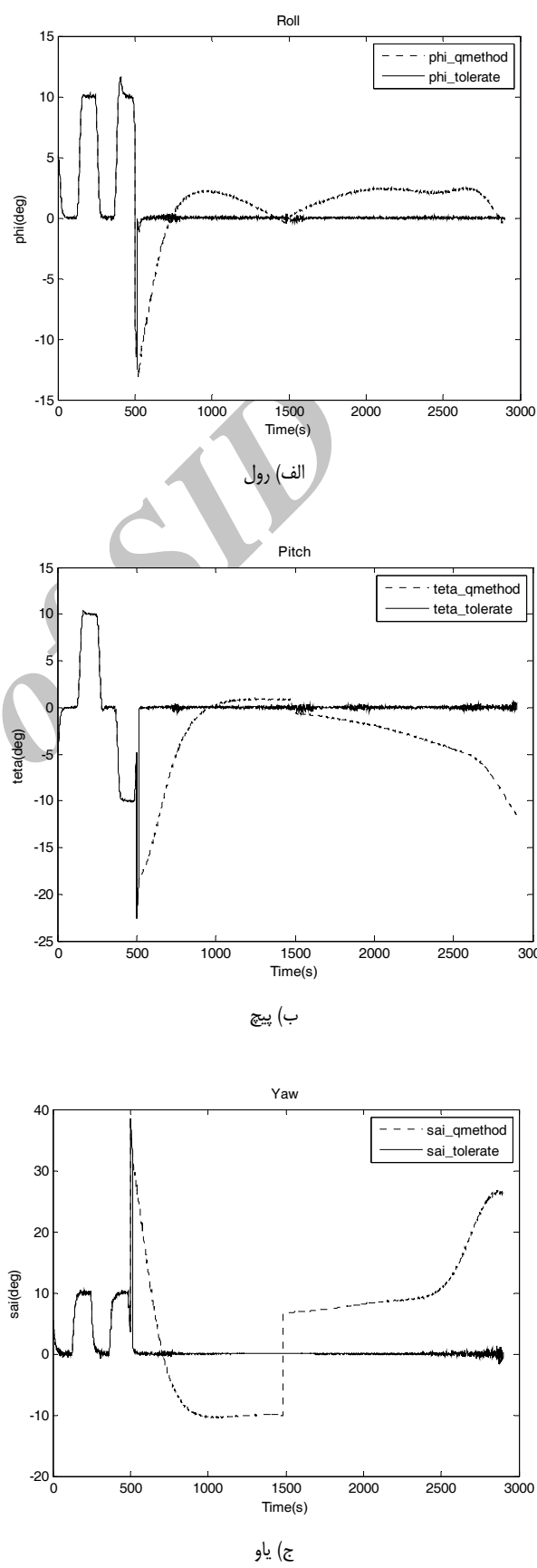


شکل ۸- شناسایی عیب در درایه y حسگر مغناطیسی



شکل ۹- جداسازی عیب در درایه y حسگر مغناطیسی

در این حالت نیز همان طور که شکل (۱۰) نشان می دهد، جبران سازی عیب در زوایای اویلر به درستی انجام شده است و پس از یک حالت گذرا، این زوایا به سمت مقادیر واقعی خود میل کرده اند.

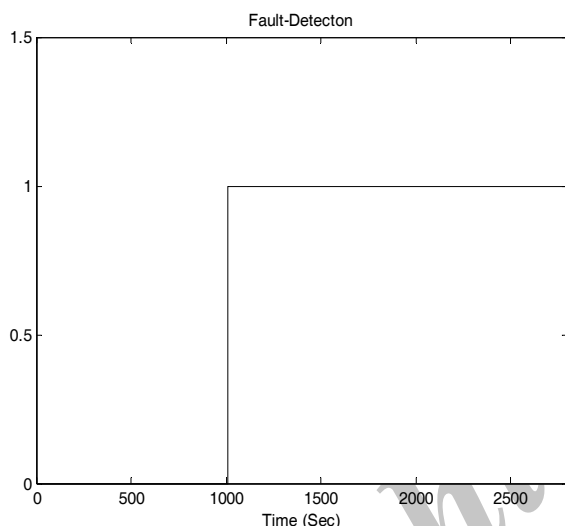


شکل ۷- جبران سازی عیب درایه X حسگر خورشید در تعیین وضعیت

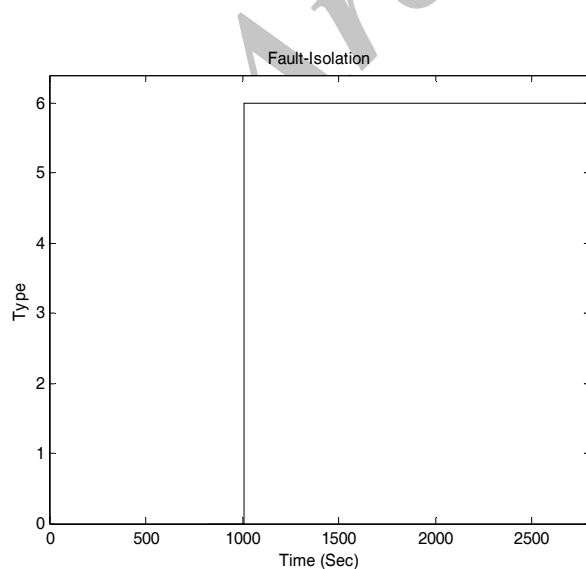
### سناریوی III: بروز عیب در مؤلفه z از حسگر مغناطیسی

در این سناریو، عیب در مؤلفه z از حسگر مغناطیسی در ثانیه ۱۰۰۰ و به صورت قطع آن یا همان صفر دائمی اعمال شده است. مطابق با شکل های (۱۱) و (۱۲) ملاحظه می شود که تشخیص عیب در ثانیه ۱۰۰۹ صورت پذیرفته و متغیر Fault\_type مقدار ۶ را پذیرفته است که متناظر با مؤلفه z از حسگر مغناطیسی در جدول (۳) است.

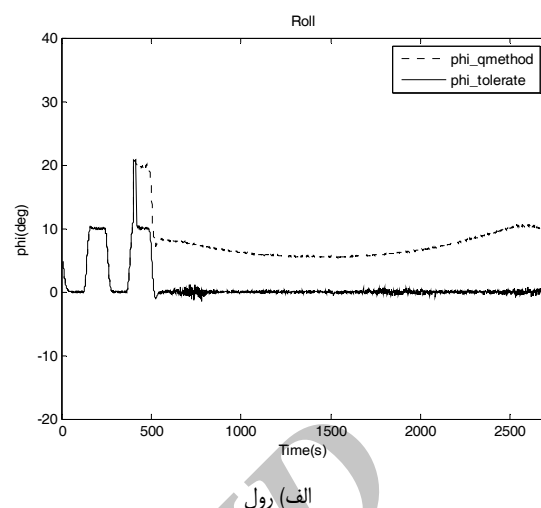
در این حالت نیز همان طور که شکل (۱۳) نشان می دهد، جبران سازی عیب در زوایای اویلر به درستی انجام شده است و پس از یک حالت گذرا، این زوایا به سمت مقادیر واقعی خود میل کردند.



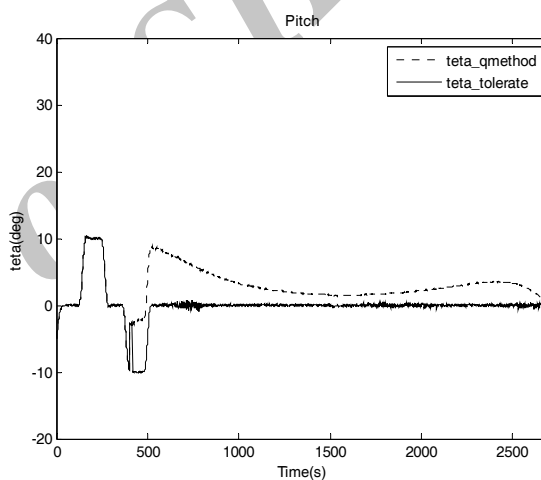
شکل ۱۱- شناسایی عیب در درایه Z حسگر مغناطیسی



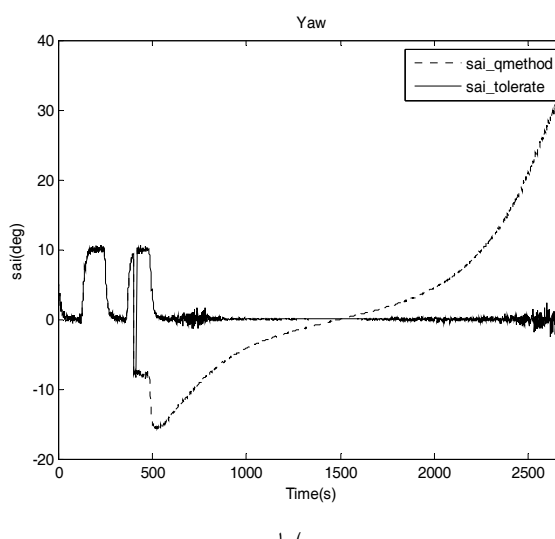
شکل ۱۲- جداسازی عیب در درایه Z حسگر مغناطیسی



(الف) رول



(ب) پیچ



(ج) یاو

شکل ۱۰- جبران سازی عیب درایه y حسگر مغناطیسی در تعیین وضعیت

شبیه‌سازی فوق با رخداد عیب در سایر مؤلفه‌های حسگرها نیز تکرار شده‌اند که در این حالت‌ها نیز نتایج مشاهده مشاهده شده است. شبیه‌سازی‌های ارائه شده در این بخش نشان می‌دهند که الگوریتم‌های طراحی شده دارای عملکرد قابل قبول در تشخیص، جداسازی و جبران‌سازی عیب حدث شده در مؤلفه‌های مختلف از حسگرها خورشید و میدان مغناطیسی هستند. موارد فوق، قابلیت‌های جدیدی است که به زیرسیستم تعیین وضعیت که دارای الگوریتم‌های تعیین وضعیت مرسوم همانند  $Q$  هستند، اضافه شده و تحقق یک عملیات تعیین وضعیت مطمئن و پیوسته را میسر ساخته است.

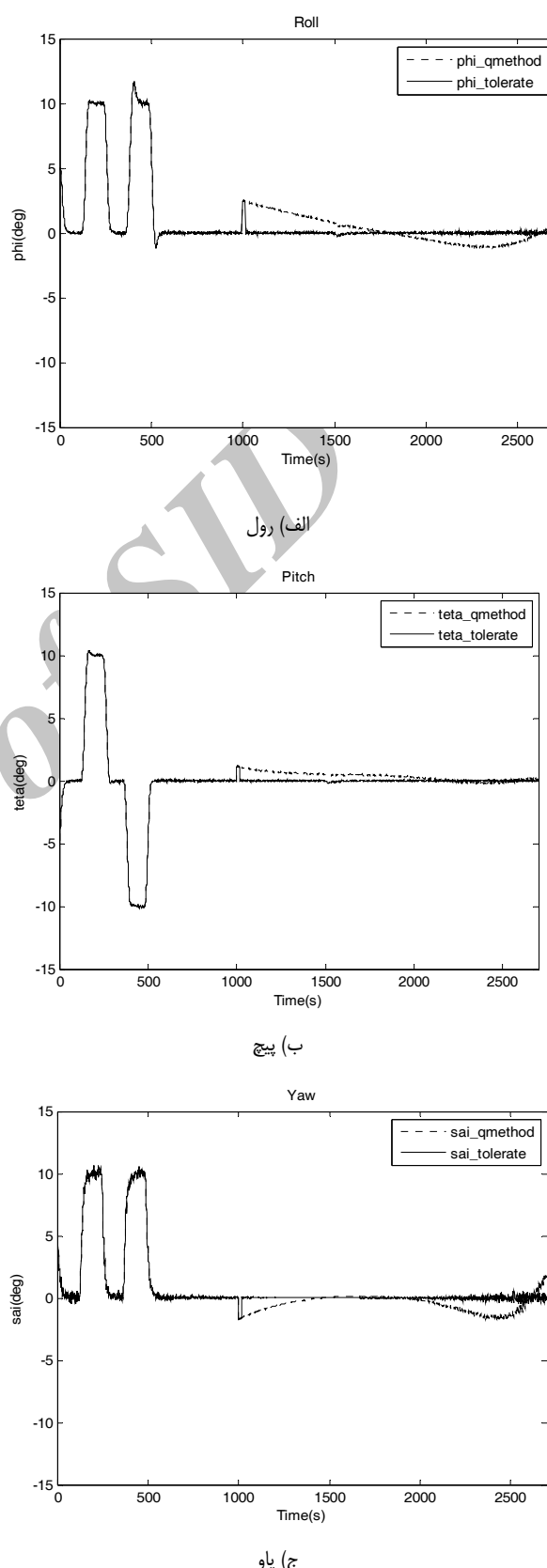
### نتیجه‌گیری

در این مقاله، مراحل طراحی الگوریتم‌های تشخیص، جداسازی و اصلاح عیب برای دستیابی به یک زیرسیستم تعیین وضعیت تحمل پذیر عیب حسگر در یک ماهواره سه محوره ارائه شد. مبنای طراحی، استخراج کلیه ماتریس‌های دوران ممکن مابین دستگاه مختصات وسط ارائه شده در این مقاله و دستگاه مختصات بدن است که روش‌های متعددی را برای محاسبه زوایای اویلر در اختیار قرار می‌دهد. در این راستا برای تشخیص و جداسازی عیب، از معیار محاسبه و مقایسه واریانس در زیرمجموعه‌های انتخاب شده‌ای از روش‌های فوق استفاده شد. به منظور جبران‌سازی عیب نیز، ایده انجام تعیین وضعیت بر اساس روش‌هایی ارائه شد که تحت تأثیر عیب حدث شده در حسگر قرار نمی‌گیرند. نتایج شبیه‌سازی صورت گرفته نشان دادند که در صورت بروز عیب در یکی از مؤلفه‌های هر یک از حسگرها، قابلیت‌های تشخیص، جداسازی و جبران‌سازی عیب به درستی محقق شده و نسبت به الگوریتم‌های مرسوم در زیرسیستم تعیین وضعیت، مانند الگوریتم  $Q$  امکان دستیابی به زیرسیستم تعیین وضعیت خودکار و مستقل در برابر بروز عیب را ایجاد کرده است.

در راستای کار صورت گرفته در این مقاله، پیشنهاد می‌شود که الگوریتم‌های فوق به گونه‌ای توسعه داده شوند که قابلیت جداسازی و جبران‌سازی عیب در حالت بروز عیب همزمان در دو حسگر نیز محقق شود.

### مراجع

- [1] Venkateswaran, N., Siva M. S. and Goel, P. S., "Analytical Redundancy Based Fault Detection of Gyroscopes in Spacecraft Applications", *Acta Astronautica*, Vol. 50, No 9, 2002, pp. 535-545.
- [2] Castet, J. F. and Saleh, J. H., "Satellite and Satellite Subsystems Reliability: Statistical Data Analysis and Modeling", *Reliability Engineering and System Safety*, Vol. 94, Issue 11, 2009, pp. 1718-1728.



شکل ۱۳- جبران‌سازی عیب درایه Z حسگر مغناطیسی در تعیین وضعیت

- Determination System”, *Journal of Acta Astronautica*, Vol. 65, No. 5-6, 2009, pp. 710–72.
- [13] Okatan, A., Hajiyev C. and Hajiyeva, U., “Kalman Filter Innovation Sequence Based Fault Detection in Leo Satellite Attitude Determination and Control System”, *3<sup>rd</sup> International Conference on Recent Advances in Space Technologies RAST '07*, Istanbul, 2007, pp. 411–416.
- [14] Xiong, K., Chan, C. W. and Zhang, H. Y., “Detection of Satellites Attitude Sensor Faults Using the UKF”, *IEEE Transactions on Aerospace and Electronics Systems*, Vol. 43, No. 2, 2007, pp. 480–491.
- [15] Soken, H. E., Hajiyev, C., “Pico Satellite Attitude Estimation Via Robust Unscented Kalman Filter in the Presence of Measurement Faults”, *ISA Transactions*, Vol. 49, No. 3, 2010, pp. 249-256.
- [16] Bae, J. and Kim, Y., “Attitude Estimation for Satellite Fault Tolerant System Using Federated Unscented Kalman Filter”, *International Journal of Aeronautical & Space Sciences*, Vol. 11, No. 2, 2010, pp. 80-86.
- [17] Li, J., Chan, C. W. and Zhang, H. Y., “Asymptotic Local Approach in Fault Detection Based on Predictive Filters,” *Journal of Guidance, Control and Dynamics*, Vol. 28, No. 6, 2005, pp. 1112-1122.
- [18] Talebi, H. A. and Khorasani, K., “An Intelligent Sensor and Actuator Fault Detection and Isolation Scheme for Nonlinear Systems”, *Proceedings of the 46<sup>th</sup> IEEE Conference on Decision and Control*, New Orleans, LA, USA, 2007, pp. 2620-2625.
- [19] Wu, Q. and Saif, M., “Robust Fault Diagnosis for Satellite Attitude Systems Using Neural State Space Models”, *IEEE International Conference on Systems, Man and Cybernetics*, Vancouver, BC, Canada, Vol. 2, 2005, pp. 1955 – 1960.
- [20] He, R., Chen, X., Geng, Y. and Zhang, Y., “Integrated Fault Detection and Fault-Tolerant Based on Sliding Mode Observer”, *4<sup>th</sup> IEEE Conference on Industrial Electronics and Applications*, Harbin, China, 2009, pp. 3454 - 3457 .
- [3] Tehrani, E. S. and Khorasani, K., *Fault Diagnosis of Nonlinear Systems Using a Hybrid Approach*, Springer, New York, 2009.
- [4] Hwang, I. and Kim, S., “A Survey of Fault Detection, Isolation and Reconfiguration Method”, *IEEE Transactions on Control Systems Technology*, Vol. 18, No 3, 2010, pp. 636-653.
- [5] Frank, P. M., “Fault Diagnosis in Dynamic Systems Using Analytical and Knowledge-Based Redundancy-A Survey and Some New Results”, *Journal of Automatica*, Vol. 26, No. 3, 1990, pp. 459-474.
- [6] Patton, R. J., “Fault Detection and Diagnosis in Aerospace Systems Using Analytical Redundancy”, *Computing and Control Engineering Journal*, Vol. 2, No.3, 1991, pp. 127-136.
- [7] Venkatasubramanian, V., Rengaswamy, R. and Kavuri, S. N., “A Review of Process Fault Detection and Diagnosis Part I: Quantitative Model-Based Methods”, *Journal of Computers & Chemical Engineering*, Vol. 27, N0. 3, 2003, pp. 293-311.
- [8] Venkatasubramanian, V., Rengaswamy, R. and Kavuri, S. N., “A Review of Process Fault Detection and Diagnosis Part II: Qualitative Models and Search Strategies”, *Journal of Computers & Chemical Engineering*, Vol. 27, No.3, 2003, pp. 313-326.
- [9] Venkatasubramanian, V., Rengaswamy, R. and Kavuri, S. N., “A Review of Process Fault Detection and Diagnosis Part III: Process History Based Methods”, *Journal of Computers & Chemical Engineering*, Vol. 27, No. 3, 2003, pp. 327-346.
- [10] Iserman, R., *Fault Diagnosis Systems: An Introduction from Fault Detection to Fault Tolerance*, Springer, Germany, 2006.
- [11] Zhang, Y. and Jiang, J., “Bibliographical Review on Reconfigurable Fault Tolerant Control Systems”, *Annual Reviews in Control*, Vol. 32, No. 2, 2008, pp. 229-252.
- [12] Pirmoradi, F. N., Sassani, F. and Silva C. W. D., “Fault Detection and Diagnosis in a Spacecraft Attitude